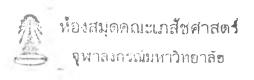
ผลของเดนโดรฟอลโคนีรอล เอ ต่อการตายแบบอะนอยคิสในเซลล์มะเร็งปอด เอช 460

นางสาวเปรมกมล เพ็งแพ่ง



วิทยานิพนธ์นี้เป็นส่วนหนึ่งของการศึกษาตามหลักสูตรปริญญาเภสัชศาสตรมหาบัณฑิต สาขาวิชาเภสัชวิทยา ภาควิชาเภสัชวิทยาและสรีรวิทยา คณะเภสัชศาสตร์ จุฬาลงกรณ์มหาวิทยาลัย ปีการศึกษา 2556 ลิขสิทธิ์ของจุฬาลงกรณ์มหาวิทยาลัย





Miss Premkamol Pengpaeng

A Thesis Submitted in Partial Fulfillment of the Requirements

for the Degree of Master of Science in Pharmacy Program in Pharmacology

Department of Pharmacology and Physiology

Faculty of Pharmaceutical Sciences

Chulalongkorn University

Academic Year 2013

Copyright of Chulalongkorn University

Thesis Title

EFFECT OF DENDROFALCONEROL A ON H460

LUNG CANCER CELL ANOIKIS

Ву

Miss Premkamol Pengpaeng

Field of Study

Pharmacology

Thesis Advisor

Assistant Professor Pithi Chanvorachote, Ph.D.

Accepted by the Faculty of Pharmaceutical Sciences, Chulalongkorn University in Partial Fulfillment of the Requirements for the Master's Degree

Dean of the Faculty of Pharmaceutical Sciences

(Associate Professor Rungpetch Sakulbumrungsil, Ph.D.)

THESIS COMMITTEE

P Kij sangzota Chairman

(Assistant Professor Pornpimol Kisanayotin, Ph.D.)

Pithi Chanvoracht—
Thesis Advisor

(Assistant Professor Pithi Chanvorachote, Ph.D.) Suntual Champiapaph Examiner

(Santad Chanprapaph, Ph.D.)
Natee Jearawithyapaisarn External Examiner

(Natee Jearawiriyapaisarn, Ph.D.)



เปรมกมล เพ็งแพ่ง : ผลของเดนโดรฟอลโคนีรอล เอ ต่อการตายแบบอะนอยคิสใน เซลล์มะเร็งปอด เอช 460. (EFFECT OF DENDROFALCONEROL A ON H460 LUNG CANCER CELL ANOIKIS) อ.ที่ปรึกษาวิทยานิพนธ์หลัก: ผศ. ดร. ปิติ จันทร์วร โชติ, 112 หน้า.

การดื้อต่อการตายแบบอะนอยคิส, การเพิ่มการเคลื่อนที่ของเซลล์ และการเจริญเติบโต ของเซลล์ในสภาวะที่ไร้การยึดเกาะ เป็นลักษณะสำคัญของเซลล์มะเร็งที่มีการแพร่กระจายสูง งานวิจัยนี้ได้อธิบายถึงฤทธิ์ของสารเดนโดรฟอลโคนีรอล เอ หรือ ดีเอฟ เอ ในแง่ของการเหนี่ยวนำ ให้เซลล์เกิดอะนอยคิส การยับยั้งการเคลื่อนที่ รวมถึงกลไกการออกฤทธิ์ของสารดีเอฟ เอ ใน เซลล์มะเร็งปอดชนิด เอช 460 ซึ่งสารดีเอฟ เอ นั้นจัดเป็นสารที่อยู่ในกลุ่ม bis(bibenzyl) ที่สกัด ได้จากลำต้นของกล้วยไม้สกุล Dendrobium falconeri วงศ์ Orchidaceae ผลการวิจัยพบว่า สารดีเอฟ เอ ในความเข้มข้นที่ไม่เป็นพิษต่อเซลล์นั้น สามารถเพิ่มการตอบสนองต่อการเกิดอะ นอยคิสในเซลล์มะเร็งปอดได้อย่างมีนัยสำคัญทางสถิติ แต่ไม่มีผลต่อเซลล์ผิวหนัง keratinocyte ซึ่งเป็นเซลล์ปกติ นอกจากนี้สารดีเอฟ เอ ยังสามารถยับยั้งการเจริญเติบโตของเซลล์มะเร็งใน สภาวะที่ไร้การยึดเกาะได้อย่างมีนัยสำคัญทางสถิติเช่นกัน เพื่อศึกษาถึงกลไกการออกฤทธิ์ต่อการ เกิดอะนอยคิสของสารดีเอฟ เอ โดยใช้ western blot analysis พบว่า สารดีเอฟ เอ นั้น สามารถ กระตุ้นการเกิดอะนอยคิสผ่านการกดการส่งสัญญาณการรอดชีวิตของเซลล์ คือ activated protein kinase B (Akt) ร่วมกับการกดการแสดงออกของโปรตีนที่ยับยั้งการตายของเซลล์ คือ Bcl-2 อย่างไรก็ตามสารดีเอฟ เอ ไม่มีผลต่อโปรตีนที่เร่งการตายของเซลล์ชนิด Bax และไม่มีผล ต่อโปรตีนที่ยับยั้งการตายของเซลล์ชนิด Mcl-1 นอกจากนี้ สารดีเอฟ เอ สามารถลดระดับของ โปรตีน Caveolin-1 (Cav-1) ได้เช่นกัน สำหรับฤทธิ์ของสารดีเอฟ เอ ในแง่ของการเคลื่อนที่ พบว่า สารดีเอฟ เอ ยับยั้งการเคลื่อนที่ของเซลล์มะเร็งปอดได้ผ่านทางการกดการแสดงออกของ pFAK และ Rho-GTP นอกจากนี้ การวิจัยนี้ยังได้ศึกษาผลของสารดีเอฟ เอ ต่อความไวของ เซลล์มะเร็งในการตอบสนองต่อยาเคมีบำบัด โดยพบว่า สารดีเอฟ เอ ไม่มีผลต่อการออกฤทธิ์ของ ยา cisplatin และ etoposide ในเซลล์มะเร็งปอดขนิดดังกล่าว กล่าวได้ว่า การศึกษานี้ แสดงให้ เห็นถึงฤทธิ์ของสารดีเอฟ เอ ต่อการกระต้นให้เกิดอะนอยคิส และยับยั้งการเคลื่อนที่ของ เซลล์มะเร็ง ซึ่งอาจพัฒนาต่อไป เพื่อใช้ในการรักษามะเร็งปอดได้

3498109856

ภาควิชา เภสัชวิทยาและสรีรวิทยา สาขาวิชา เภสัชวิทยา

ปีการศึกษา 2556

 # # 5576214433 : MAJOR PHARMACOLOGY

KEYWORDS: DENDROFALCONEROL A / SENSITIZE / ANOIKIS / INHIBIT / MIGRATION / LUNG CANCER

> PREMKAMOL PENGPAENG: EFFECT OF DENDROFALCONEROL A ON H460 ANOIKIS. ADVISOR: ASST. PROF. LUNG CANCER CELL PITHI CHANVORACHOTE, Ph.D., 112 pp.

Resistance to anoikis, enhance cell motility, and growth in anchorageindependent condition are hallmarks of highly metastatic cancer cells. The present study demonstrates anoikis sensitizing and anti-migration activities of Dendrofalconerol A (DF-A), a pure bis(bibenzyls) isolated from stem of Dendrobium falconeri (Orchidaceae), and its underlying mechanisms in human lung cancer H460 cells. DF-A at non-toxic concentrations significantly increased anoikis response of the cancer cells, but caused no toxic effect on normal keratinocytes. In addition, DF-A significantly inhibited the growth of lung cancer cells in anchorage-independent condition. Western blot analysis revealed that anoikis sensitizing effect of such compound involves its ability to suppress survival signals as well as anti-apoptotic proteins, namely, activated protein kinase B (Akt) and Bcl-2. Furthermore, DF-A significantly decreased the level of Caveolin-1 (Cav-1) proteins while has no effect on pro-apoptotic Bax protein and anti-apoptotic Mcl-1 protein. In case of cancer cell motility, we found that DF-A exhibited strong anti-migration activity with the underlying mechanism involves the effect of compound to suppress pFAK and Rho-GTP in lung cancer cells. Finally, we tested the effect of DF-A on chemotherapeutic agent. DF-A exerts no significant effects on susceptibility of cancer cells to cisplatin and etoposide. Taken together, DF-A possesses anoikis sensitizing activity along with anti-migration effect which may be developed as a novel active compounds used for cancer treatment.

Department: Pharmacology and

Physiology

Field of Study: Pharmacology

Academic Year: 2013

Student's Signature frembamol Pengpaeng.

Advisor's Signature Pith Charter

ACKNOWLEDGEMENTS

It is impossible to accomplish without the kindness and help for my study. Foremost, I would like to express my sincere gratitude and heartfelt to my advisor, Assistant Professor Dr. Pithi Chanvorachote. Thank you for his tremendous mentor, great understanding, encouraging and supporting, which has been given to me until my research study was completed. Also, I would like to thank Dr. Varisa Pongrakhananon for valuable advice to me.

Besides, I would like to send my appreciation to Associate Professor Dr. Boonchoo Sritularak, professor of the Department of Pharmocognosy, Faculty of Pharmaceutical Sciences, Chulalongkorn University, for dendrofalconerol A, which was used in this study.

Furthermore, I would also like to acknowledge with appreciation to Associate Professor Police Lieutenant Colonel Dr. Somsong Lawanprasert and Assistant Professor Dr. Pornpimol Kisanayotin for the great opportunity to study in the Department of Pharmacology and Physiology, Chulalongkorn University.

I would especially like to thank members in my laboratory; Dr. Predakorn Chunhacha, Dr. Chatchai Choatham, Miss Thidarat Winitthana, Miss Chuanpit Ninsontia, Miss Chayanin Kiratipaiboon, Miss Thitita Unahabhokha who always solve many problems together with me.

My special thank is also expressed to my friends and all persons in the Department of Pharmacology and Physiology, Chulalongkorn University. All of you have been there to support me and given a great time together.

My extremely gratitude is also also expressed to THE 90TH ANIVERSARY OF CHULALONGKORN UNIVERSITY FUND (Ratchadaphiseksomphot Endowment Fund), Chulalongkorn University for their financial support granted throughout my study.

Eventually, thank to my family. I will be grateful forever for their love and support.

CONTENTS

	Page
THAI ABSTRACT	iv
ENGLISH ABSTRACT	V
ACKNOWLEDGEMENTS	vi
CONTENTS	vii
LIST OF TABLE	ix
LIST OF FIRURES	xii
LIST OF ABBREVIATIONS	xiv
CHAPTER I INTRODUCTION	1
CHAPTER II LITERATURE REVIEWS	4
Lung cancer	4
Metastasis	5
Migration	6
Focal adhesion kinase (FAK)	8
Rho-family protein	10
Anoikis	13
Apoptosis	14
Anoikis pathway	15
The intrinsic apoptotic pathway	16
The extrinsic apoptotic pathway	18
Bcl-2	19
Bax	19
Mcl-1	20
Caveolin-1 (Cav-1)	21
Protein kinase B (Akt)	23
Protein kinase B and apoptotic pathway	24
Protein kinas B and Cav-1	25
Chemotherapeutic agents	25



	Page
Cisplatin	25
DNA-adduct formation	26
ROS induction	27
Etoposide	27
Dendrofalconerol A	30
CHAPTER III MATERIALS AND METHODS	32
CHAPTER IV RESULTS	48
CHAPTER V DISCUSSION AND CONCLUSION	72
REFERENCES	75
APPENDIX	91
VITA	112



Table 1 Distinct modalities of apoptosis and necrosis	15
Table 2 The percentage of H460 cell viability was determined by MTT assay after	
treatment with various concentrations of DF-A (0-100 μ M) for 24 h	
(concentration- dependency)	85
Table 3 The percentage of HaCat cell viability was determined by MTT assay	
after treatment with various concentrations of DF-A (0-100 μ M) for 24 h	
(concentration-dependency)	86
Table 4 The percentage of apoptotic H460 cells was determined by MTT assay	
after treatment with various concentrations of DF-A (0-100 μ M) for 24 h	
(concentration-dependency)	87
Table 5 The percentage of apoptotic HaCat cells was determined by MTT assay	
after treatment with various concentrations of DF-A (0-100 μ M) for 24 h	
(concentration-dependency)	88
Table 6 The percentage of H460 cell viability was determined by MTT assay after	
treatment with various non-concentrations of DF-A (0-5 μ M) for 0, 6, 9, 12 or 24 h	
(time- and concentration-dependency)	89
Table 7 The percentage of apoptotic H460 cells was determined by MTT assay aff	ter
treatment with various non-concentrations of DF-A (0-5 μ M) for 24 h	
(concentration-dependency)	90

Table 8 The percentage of HaCat cell viability was determined by MTT assay after
treatment with various non-concentrations of DF-A (0-5 μ M) for 0, 6, 9, 12 or 24 h
(time- and concentration-dependency)91
Table 9 Relative sub G_0 fraction of H460 cells was determined by PI staining and flow
cytometry after treatment with various non-concentrations of DF-A (0-5 μM) for 24 h
(concentration-dependency)92
Table 10 The percentage of Colony size of H460 cells was determinedmby image
analyzer after treatment with various non-concentrations of DF-A (0-5 μ M)
for 2 weeks (concentration-dependency)
Table 11 The percentage of Colony number of H460 cells was determined by image
analyzer after treatment with various non-concentrations of DF-A (0-5 μ M)
for 2 weeks (concentration-dependency)94
Table 12 The relative protein of pAkt/Akt was determined by Western blot analysis
after untreated or treated cells with DF-A 5 μ M for 0, 6, 12 or 24 h
(time-dependency)95
Table 13 The relative protein of Mcl-1 was determined byWestern blot analysis after
untreated or treated cells with DF-A 5 μ M for 0, 6, 12 or 24 h
(time-dependency)96
Table 14 The relative protein of Bax was determined by Western blot analysis after
untreated or treated cells with DF-A 5 μ M for 0, 6, 12 or 24 h
(time-dependency)
Table 15 The relative protein of Cav-1 was determined by Western blot analysis after
untreated or treated cells with DF-A 5 μ M for 0, 6, 12 or 24 h
(time-dependency)

Table 16 The relative protein of Bcl-2 was determined by Western blot analysis aft	er
untreated or treated cells with DF-A 5 μM for 0, 6, 12 or 24 h	
(time-dependency)	.99
Table 17 The percentage of H460 cells proliferation was determined by MTT assay	
after treatment with various non-concentrations of DF-A (0-5 μ M) for 0-72 h at various	ous
time points	00
Table 18 Relative cell migration (wound closure) of H460 cells was determined by	
wound healing assay after treatment with various non-concentrations of DF-A	
(0-5 μM) for 24 h	.00
Table 19 Relative cell migration (wound closure) of H460 cells was determined by	
wound healing assay after treatment with various non-concentrations of DF-A	
(0-5 µM) for 24, 48 or 72 h	.01
Table 20 The relative protein of p-FAK/FAK, Rho-GTP and Rac-GTP were determine	d
by western blot analysis after treatment with various non-concentrations of DF-A	
(0-5 µM) for 24 h (concentration-dependency)	102
Table 21 The percentage of H460 cell viability was determined by MTT assay after	
pretreatment with various non-concentration of DF-A (0-5 μ M) prior to cisplatin	
treatment	103
Table 22 The percentage of H460 cell viability was determined by MTT assay after	
pretreatment with various non-concentration of DF-A (0-5 μ M) prior to etoposide	
treatment	104

Page

LIST OF FIRURES

Figure 1 Metastasis process......6

Figure 2 Schematic of cell migration......7

Figure 3 Signaling pathway of FAK and its downstream	8
Figure 4 Structure of FAK and phosphorylation site	9
Figure 5 Regulation of Rho family proteins	11
Figure 6 Step to move in cell migration	12
Figure 7 Anoikis and anoikis resistant	13
Figure 8 Bcl-2 familiy of pro- and anti-apoptosis protein	16
Figure 9 Intrinsic pathway and extrinsic pathway	17
Figure 10 The structure of caveolar and caveolin	21
Figure 11 The level and role of Cav-1 in tumor progression	.23
Figure 12 Structure of cisplatin	25
Figure 13 DNA-adduct formation of cisplatin	27
Figure 14 Structure of etoposide	28
Figure 15. The mechanism of etoposide	29

Figure 16. Chemical structure e of Dendrofalconerol A......30

Figure 17 Conceptual framework......40

Figure 18 Experimental designs......41

Figure 19. The cytotoxic effects of DF-A on lung cancer H460 cells and keratinocyte

HaCat cells......48



igure 20 Nuclear morphology of H460 cells and HaCat cells	49
igure 21 Anoikis sensitizing effect of DF-A on H460 cells	52
igure 22 Anoikis sensitizing effect of DF-A on HaCat cells	53
igure 23 Nuclear morphology of anoikis nuclei of H460 cells	54
igure 24 Percentage of apoptosis in response to DF-A treatment	55
igure 25 Sub-G ₀ fraction of DF-A	56
Figure 26 DF-A inhibits anchorage-independent growth	58
igure 27 Colony size and number	59
rigure 28 Effects of DF-A on anoikis regulatory proteins	61
rigure 29 Effect of DF-A on H460 lung cancer cell proliferation	64
Figure 30 Effect of DF-A on H460 lung cancer cell migration	65
Figure 31 DF-A suppresses the expression of pFAK and Rho-GTP in H460 cells	67
Figure 32 Effect of DE-A on anti-cancer drugs-induced cell death	70

% = percentage

°c = degree Celsius

μg = microgram (s)

μl = microliter (s)

Akt = adenosine triphosphate dependent tyrosine kinase

ANOVA = analysis of variance

Bcl-2 = B-cell lymphoma 2

Cav-1 = caveolin-1

Cdc42 = cell division cycle 42

CO2 = carbon dioxide

CSD = caveolin scaffolding domain

DISC = death-inducing signaling complex

DMSO = dimethyl sulfoxide

DNA = deoxyribonucleic acid

ECM = extracellular matrix

EDTA = Ethylenediaminetetraacetic acid

et al. = et alibi, and other

EtOH = ethanol

FAK = focal adhesion kinase

FAs = focal adhesions

FAT = focal adhesion targeting-domain

FBS = fetal bovine serum



FERM = protein 4.1, ezrin, radixin, and moesin homology

g = gram

GAPs = GTPase activating proteins

GEFs = guanine nucleotide exchange factors

GDIs = guanine nucleotide dissociation inhibitors

h = hour, hours

H2O2 = hydrogen peroxide

H460 = large cell lung carcinoma cell line

Hacat = human skin: keratinocyte

IC50 = 50% inhibitory concentration

IC70 = 70% inhibitory concentration

kDA = kilo dalton

L = litre(s)

Mcl-1 = myeloid cell leukemia sequence 1

MeOH = methanol

Min = minute (s)

Mg = milligram (s)

Ml = milliliter

mM = millimolar

MTT = 3-(4,5-Dimethylthiazol-2-yl)-2,5-diphenyltetrazolium bromide

NaCl = sodium chloride

NSCLC = non-small cell lung cancer

OD = optical density

PAGE = polyacrylamide gel electrophoresis



PBS = phosphate-buffered saline

pFAK = active focal adhesion kinase

PI = propidium iodide

PI3K = phosphatidylinositol-3 kinase

Poly-HEMA = Polyhydroxyl- ethylmethacrylate

ROS = reactive oxygen species

RPMI = Roswell Park memorial institute's medium

SCLC = small cell lung cancer

SDS = sodium dodecyl sulfate

SE = standard error

Ser = serine

TBST = tris-buffered saline, 0.1% Tween 20

TOP-II = topoisomerase 2

Tyr = tyrosine

XTT = 2,3-b-(2-methoxy-4-nitro-5-sulfophenyl)-2H-tetrazolium-5-

carboxanilide salt

